## Доклады Академии наук СССР 1973. Том 209, № 5

УЛК 531.32

## ТЕХНИЧЕСКАЯ ФИЗИКА

С. Г. ФЕДОТОВ, Н. Ф. КВАСОВА

## ФАЗОВЫЙ СОСТАВ И СВОЙСТВА МЕТАСТАБИЛЬНЫХ СПЛАВОВ ТИТАНА С НИКЕЛЕМ

(Представлено академиком С. Т. Кишкиным 12 VII 1972)

Принято считать, что модули упругости металлических материалов мало зависят от изменения химического и фазового состава; например, для сталей и сплавов на основе меди и алюминия эти изменения не превышают 5-6%. Однако у титановых сплавов, как показано в работах  $\binom{1}{2}$ , модуль Юнга и модуль сдвига могут существенно изменяться, достигая ири образовании пересыщенных  $\alpha'$ -твердых растворов величин, почти вдвое меньших ( $E\approx 6000~{\rm kr/mm^2}$ ), чем у пелегированного титана ( $E=11700~{\rm kr/mm^2}$ ). В то же время появление  $\omega$ -фазы при закалке или в процессе отпуска вызывает значительное повышение упругих характеристик ( $E\approx 14000~{\rm kr/mm^2}$ ). Поэтому систематическое и всестороннее изучение метастабильных титановых сплавов важно не только для разработки новых материалов с необходимыми свойствами. Оно имеет значение и для выяснения природы и механизма образования метастабильных фаз, для установления причин, связанных с изменением свойств в таких шпроких пределах.

Настоящая работа посвящена изучению фазового строения и свойств метастабильных сплавов титана с одним из эвтектоидообразующих элементов — никелем, а также процессов распада метастабильных  $\alpha'$ -,  $\omega$ - и  $\beta$ -фаз, образующихся при закалке этих сплавов. Исследование проводили на сплавах, изготовленных из иодидного титана и никеля НООО электронно-лучевой плавки.

Содержание никеля изменяли от 2 до 13 вес. %. Измеряли модули упругости сплавов и их зависимость от температуры, удельное электросо-противление, проводили термический дифференциальный анализ. Рентгенограммы снимали с закаленных образцов d=0.6 мм на  $\mathrm{Cu}K_{\alpha}$ -излучении. Перед съемкой образцы полировали в электролите, состоящем из 35 мл хлорной кислоты и 150 мл уксусного ангидрида. Электрополировкой спимался поверхностный слой закаленных цилиндриков на  $\sim 0.2$  мм. Рентгенофазовый анализ дополняли микроструктурными исследованиями.

Закаленные от  $1000^\circ$  сплавы с содержанием никеля до 7 вес. % имеют игольчатую микроструктуру. По данным рентгенофазового анализа они имеют строение г.п.у.  $\alpha$ -фазы, причем линии  $\alpha$ -фазы на рентгенограммах четкие, без заметного уширения и раздвоения, характерных для титанового  $\alpha'$ -мартенсита с  $\beta$ -изоморфными элементами (V, Nb, Ta, Mo). Модуль Юнга E и удельное электросопротивление  $\rho$  титаноникелевых сплавов с игольчатой микроструктурой, в отличие от  $\alpha'$ -мартенсита сплавов с V, Nb, Ta и Mo, мало зависит от состава (рис. 1). По уровню E и  $\rho$  эти сплавы в закаленном и отожженном состояниях близки друг к другу.

На кривых температурной зависимости модуля Юнга (рис. 2) не наблюдается каких-либо аномалий, указывающих на распад пересыщенных  $\alpha'$ -твердых растворов. Эта зависимость близка к линейной. На примере сплава  $\mathrm{Ti}-5.5$  Ni можно видеть, что температурный ход модуля Юнга практически одинаков для закаленного и отожженного состояний. В то же время распад титановападиевого мартенсита при нагреве сплавов со-

провождается резким возрастанием E и падением  $\rho$  (3). На термограммах закаленных сплавов с  $\alpha$ -структурой выявляются два эндотермических эффекта, соответствующие превращениям, описываемым диаграммой равновесия. Других эффектов не наблюдается.

Результаты исследования фазового строения и свойств закаленных сплавов титана с никелем указанной области позволяют заключить, что

в этой системе при принятых в работе условиях термической обработки (закалка от 1000° в воду образцов в виде d = 0.6 - 0.8 мм для рентгенофазового анализа и образнов d = 5-6 мм пля изэлектрических мерения ипругих свойств) не обрапересыщенные зуются твердые растворы с исходным содержанием никеля. Поэтому  $\beta \rightarrow \alpha$ -превращение, протекающее при закалке Ti-Ni сплавов. нельзя относить к мартенситному бездиффузионному типу. Вопрос о форме нахождения избыточного никеля взакаленных сплавах с а-структурой не может считаться решенным полностью. Возможно, никель находится в виде отдельных молекуляргруппировок, близких по составу к Ті2 Nі.

В работе (4) указывается на выделение немартенситной сфазы в закаленных сплавах титана с 4,5 и 6 ат. % Ni. Скорость закалки при этом составляла около 1000 град/сек. Макквиллен (5)

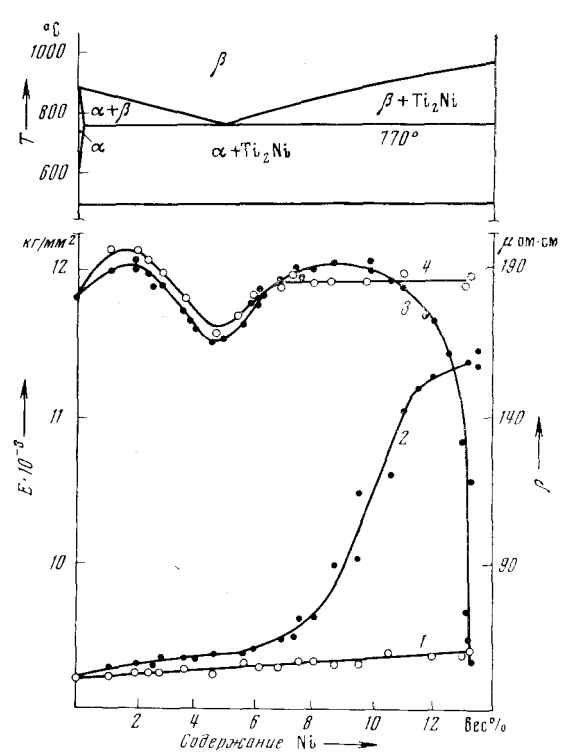


Рис. 1. Зависимость удельного электросопротивления  $\rho$  (1, 2) и модуля Юнга E (3, 4) силавов системы Ti — Ni от содержания Ni: 1, 4 — для отожженного состояция; 2, 3 — после закалки из однофазной  $\beta$ -области от  $1000^\circ$ 

также обращает внимание на аномально быстрое образование  $\alpha$ -фазы из  $\beta$ -твердого раствора путем процессов зарождения и роста во время закалки титанового сплава с 2,4 ат.% Ni. Явление, связанное с выделением немартенситной  $\alpha$ -фазы, судя по изменению упругих, электрических и других свойств сплавов в закаленном состоянии, по нашим исследованиям, имеет место и в других эвтектоидных системах таких, как Ti — Fe, Ti — Co. В большей мере оно проявляется в тех системах, в которых выше температура эвтектоидного превращения  $\beta$ -фазы и меньше растворимость легирующего элемента в  $\alpha$ -Ti.

В сплавах с 7—9,6 вес. % Ni, наряду с  $\alpha$ -фазой, рентгенографически выявляются  $\beta + \omega$ . В более легированных сплавах  $\alpha$ -фаза не обнаруживается, они имеют ( $\beta + \omega$ )-структуру, причем слабые линии  $\omega$ -фазы можно видеть на рентгенограмме сплава с 13 вес. % Ni. Метастабильный  $\beta$ -твердый раствор без  $\omega$ -фазы в системе Ti — Ni практически не удается зафиксировать.

Переход от  $\alpha$ -сплавов к сплавам с ( $\alpha + \beta + \omega$ )- и ( $\beta + \omega$ )-структурой проявляется в резком повышении удельного электросопротивления (см. рис. 1). На концентрационной зависимости модуля Юнга этот переход менее выражен, поскольку  $\alpha$ -сплавы по уровню упругих свойств близки к сплавам с ( $\alpha + \beta + \omega$ )-структурой. В более легированных сплавах, на-

чиная примерно с 10 вес. % Ni, уменьшение относительной доли высокомодульной ω-фазы в их структуре проявляется в интенсивном понижении модуля Юнга и повышении удельного электросопротивления. Поэтому повышение ρ сплавов этой области связано, по-видимому, с нестабильной β-фазой в большей мере, чем с ω-фазой. Температурная зависимость мо-

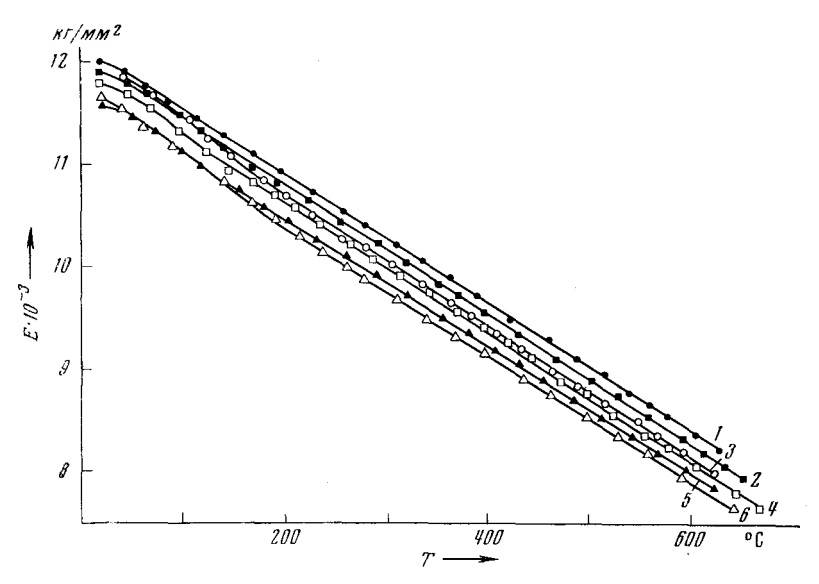


Рис. 2. Изменение модуля Юнга при нагреве титаноникелевых сплавов в закаленном состоянии в зависимости от содержания никеля, вес. %: 1-1,9; 2-2,7; 3-6,8; 4-6,1; 5-5,5; 6-5,5 (отожженное состояние)

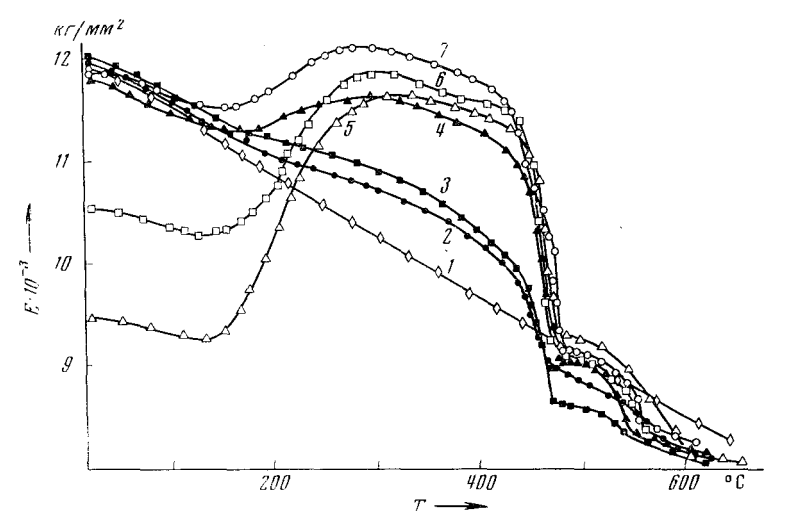


Рис. 3. Изменение модуля Юнга при нагреве закаленных титаноникелевых сплавов с различным содержанием никеля, вес.%: 1-13,3 (отожженное состояние),  $2-8;\ 3-9,6;\ 4-10,6;\ 5-13,3;\ 6-13,1;$  7-10,9

дуля Юнга сплавов (рис. 3) сложнее рассмотренной выше зависимости для сплавов с α-структурой. Распад метастабильного β-твердого раствора, который идет через ω-фазу, вызывает повышение упругих характеристик. Это повышение закономерно нарастает с увеличением относительной доли метастабильной β-фазы. Ее распад во всех сплавах при нагреве со

скоростью 3 град/мин. начинается примерно со  $130-140^\circ$ . Интенсивное понижение модуля упругости, начиная с  $420-430^\circ$ , связано с последующей стадией распада  $\beta$ -твердого раствора — с превращением  $\omega$ -фазы. На рентгенограммах (рис. 4) сплавов с исходной ( $\beta + \omega$ )-структурой после нагрева их до  $460^\circ$  (по режиму измерения упругих свойств со скоростью 3 град/мин.) и охлаждения в воде наблюдаются две системы линий  $\beta$ -твердого раствора. Интенсивность линий  $\omega$ -фазы уменьшается. После нагрева сплавов до  $470^\circ$  на рентгенограммах выявляются четкие линии  $\alpha$ -фазы (рис. 4, см. вкл. к стр. 1083).

Отдельные стадии распада метастабильного  $\beta$ -твердого раствора сопровождаются тепловыми эффектами, которые хорошо фиксируются методами термического анализа. Для  $\beta \to \omega$ -превращения характерно выделение тепла, исчезновение  $\omega$ -фазы и расслоение  $\beta$ -твердого раствора идет с поглощением тепла. За реакцией исчезновения  $\omega$ -фазы на кривых дифференциального анализа в узком интервале температур  $470-485^{\circ}$  появляется резкий экзотермический всплеск, связанный с  $\beta \to \alpha$ -превращением. Температурные интервалы протекания отмеченных стадий распада зависят от скорости нагрева и при увеличении ее смещаются в сторону более высоких температур.

Таким образом, нами установлено, что модули упругости титаноникелевых сплавов изменяются в широких пределах в зависимости от фазового строения и термической обработки. При закалке сплавов системы Ti-Ni не удается получить пересыщенный  $\alpha'$ -мартенсит и метастабильный  $\beta$ -твердый раствор без  $\omega$ -фазы. Диффузионная кинетика образования  $\alpha$ -фазы при закалке титаноникелевых сплавов и неустойчивость  $\beta$ -твердого раствора обусловлены высокой температурой эвтектоидного превращения  $\beta$ -фазы и малой растворимостью никеля в  $\alpha$ -Ti.

Институт металлургии им. А. А. Байкова Академии наук СССР Москва Поступило 3 VII 1972

## ЦИТИРОВАННАЯ ЛИТЕРАТУРА

<sup>1</sup> W. Knorr, H. Sholl, Zs. Metallkunde, 51, H. 10, 605 (1960). <sup>2</sup> С. Г. Федотов, Сборн. Исследование металлов в жидком и твердом состояниях, «Наука», 1964, стр. 207. <sup>3</sup> С. Г. Федотов, К. М. Константинов, Е. П. Синодова, ФММ, 25, в. 5, 860 (1968). <sup>4</sup> J. W. Barton, G. P. Pardy et al., Trans. AIME, 218, № 10, 844 (1960). <sup>5</sup> A. D. McQuillan, J. Inst. Metals, 82, 47 (1953—1954).